

**Московский физико-технический институт (ГУ)  
Институт прикладной математики им. М.В. Келдыша РАН**

**Исследование алгоритма управления  
движением группы спутников с помощью  
аэродинамической силы**

**Кушнирук М.С.**

**Научный руководитель:  
Иванов Д.С.**

# Содержание

## Глава 1. Предотвращение столкновений

1. Вычисление радиуса запретной зоны
2. Управление по линейному закону
3. Оптимальное управление

## Глава 2. Исследование алгоритма управления

1. Модель аэродинамической силы
2. Линейно-квадратический регулятор
3. Исследование алгоритма
4. Влияние возмущений на движение

## Заключение

# Введение

- Появление малых спутников
- Увеличение кол-ва миссий требующих поддержания спутников на близком расстоянии
- Повышенный интерес к алгоритмам управления без расхода рабочего тела (Например, с помощью аэродинамической силы)
  - Leonard C.L. Formation Keeping of Spacecraft via Differential Drag // Master Thesis, Massachusetts Inst. Technol. 1986
  - Kumar, B. S., and Ng, A., A Bang-Bang Control Approach to Maneuver Spacecraft in a Formation with Differential Drag, // Proceedings of the AIAA Guidance, Navigation and Control Conference and Exhibit, Honolulu, Hawaii, August 2008
  - Zeng G., Hu M., Yao H. Relative Orbit Estimation and Formation Keeping Control of Satellite Formations in Low Earth Orbits // Acta Astronaut. Elsevier, 2012. Vol. 76. P. 164–175



Группа спутников OrbComm

# Принцип управления с помощью аэродинамической силы

- Рассматривается два спутника, летящих в группе, состоящие из центральной части и пластин (солнечных батарей)
- При изменении ориентации меняется площадь сечения относительно набегающего потока
- Возникает разница между действующими на два спутника аэродинамическими силами

# Постановка задачи

- Во время переходных процессов или свободного движения возможно опасное сближение или столкновение спутников
- Необходимо обеспечить безопасную область
- Задача управления - избежать попадания спутника внутрь заданной области
- После маневра включается управление, возвращающее на заданную траекторию, если это необходимо.

# Уравнения относительного движения

Уравнения Хилла и их решения:

$$\ddot{\mathbf{r}} + 2\boldsymbol{\omega} \times \dot{\mathbf{r}} + 3\boldsymbol{\omega} \times \boldsymbol{\omega} \times \mathbf{r} = \mathbf{f}.$$

При  $\mathbf{f} = 0$

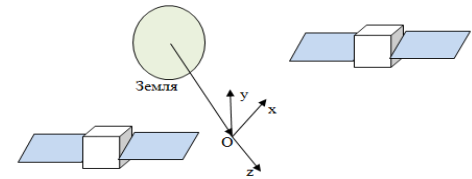
$$\begin{cases} \ddot{x} = -2\dot{z}\omega, \\ \ddot{y} = -y\omega^2, \\ \ddot{z} = 2\dot{x}\omega + 3z\omega^2. \end{cases}$$

$$\begin{cases} x(t) = -3c_1\omega t + 2c_2 \cos \omega t - 2c_3 \sin \omega t + c_4, \\ y(t) = c_5 \sin \omega t + c_6 \cos \omega t, \\ z(t) = 2c_1 + c_2 \sin \omega t + c_3 \cos \omega t. \end{cases}$$

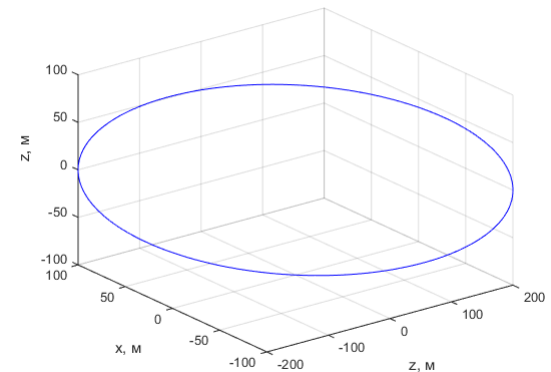
Рассмотрим движение в плоскости  $Oxz$ .

Модель аэродинамической силы:

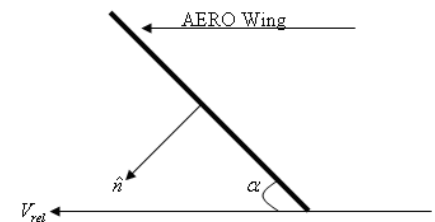
$$\begin{cases} f_x = -\frac{1}{2m} \rho C V^2 S (|\sin \alpha_2| - |\sin \alpha_1|) = q \sin \Delta \alpha, \\ \alpha_1 \alpha_2 = 0. \end{cases}$$



Система координат



Траектория относительного движения



$\alpha$  – угол между платиной и набегающим потоком

# Вычисление радиуса запретной зоны

$\mathbf{e}_0$  – ошибка начальных условий в момент времени  $t_0$ .

Эллипсоид ошибок:

$$\begin{cases} \mathbf{e}_0^T P_0^{-1} \mathbf{e}_0 = \chi^2 = const > 0, \\ P(E_\chi) = 1 - \varepsilon, \\ E_\chi = \{ \mathbf{e} : \mathbf{e}^T P_0^{-1} \mathbf{e} \leq \chi^2 \}, \\ \dot{P} = FP + PF^T \end{cases}$$

Радиус запретной зоны:

$$R = \max(\sigma_x, \sigma_z).$$

$$P(t_0) = \text{diag}(1 \text{ см} \quad 1 \text{ см} \quad 1 \text{ см} \quad 0.001 \frac{\text{см}}{\text{с}} \quad 0.001 \frac{\text{см}}{\text{с}} \quad 0.001 \frac{\text{см}}{\text{с}}).$$

$$\varepsilon = 0.01.$$

Параметры моделирования:

$$S = 0.6 \text{ м}^2,$$

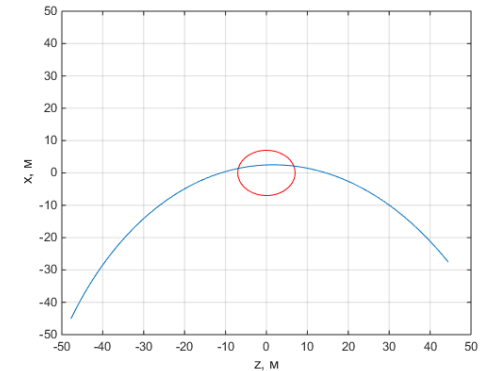
$$m = 26 \text{ кг},$$

$$h = 340 \text{ км},$$

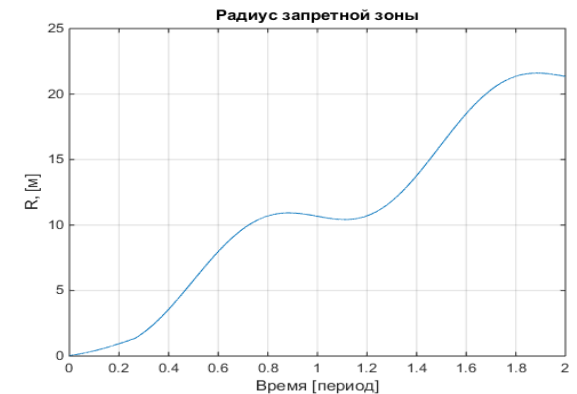
$$\rho \approx 10^{-11} \text{ кг/м}^3,$$

$$q = \frac{1}{2m} \rho V^2 S \approx 1.4 \cdot 10^{-5} \text{ м/с}^2.$$

$$\mathbf{x}_0 = [-45 \text{ м} \quad 0 \text{ м} \quad -48 \text{ м} \quad 0.1 \text{ м/с} \quad 0 \text{ м/с} \quad 0 \text{ м/с}]^T$$



Траектория спутника через запретную зону.



Зависимость радиуса запретной зоны от времени

# Управление по линейному закону

Пусть

$$u(t) = u_0 \left(1 - \frac{t - t_0}{T - t_0}\right).$$

Аналитическое решение:

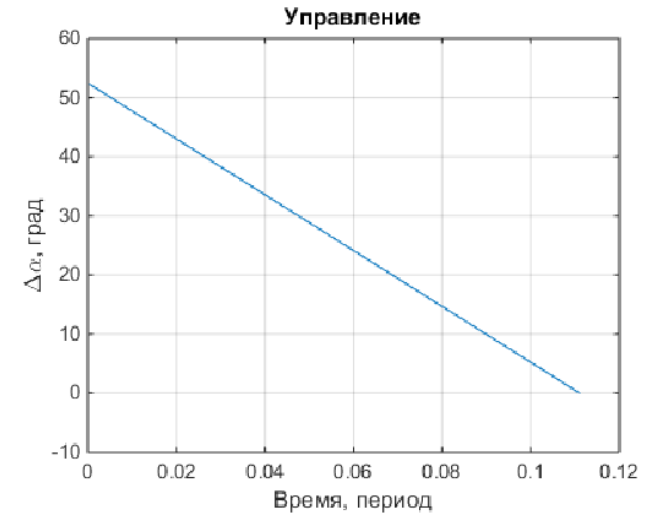
$$\begin{cases} x(t) = a_0 + a_1 t + a_2 t^2 + a_3 t^3 + a_4 \sin(\omega(t - t_0)) + a_5 \cos(\omega(t - t_0)), \\ \dot{x}(t) = a_1 + 2a_2 t + 3a_3 t^2 + a_4 \omega \cos(\omega(t - t_0)) - a_5 \omega \sin(\omega(t - t_0)), \\ z(t) = a_6 + a_7 t + a_8 t^2 + a_9 \sin(\omega(t - t_0)) + a_{10} \cos(\omega(t - t_0)), \\ \dot{z}(t) = a_7 + a_8 t + a_9 \omega \cos(\omega(t - t_0)) - a_{10} \omega \sin(\omega(t - t_0)), \end{cases}$$

$a_i$  – выражаются через начальные условия, время касания  $T$  и начальное управление управления  $u_0$ .

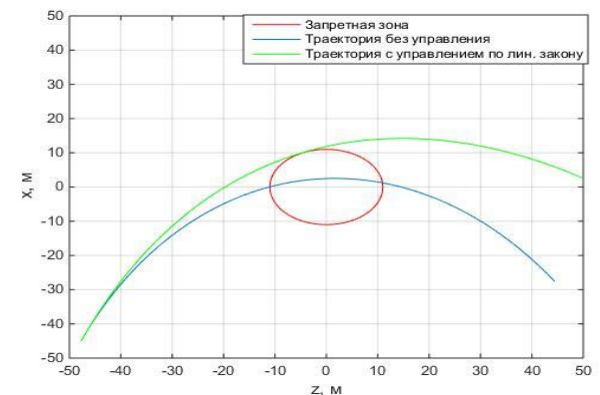
Условие касания запретной зоны:

$$x(T)^2 + z(T)^2 - R^2 = 0,$$

$$x(T)\dot{x}(T) + z(T)\dot{z}(T) = 0.$$



Зависимость разности углов от времени



Пример проекции траектории на плоскость  $Oxz$

# Оптимальное управление

Функционал системы:

$$Q = \int_{t_0}^T (-u^2(t)) dt.$$

Функция Понтрягина:

$$\tilde{H} = -\frac{1}{2}u^2 + \psi_1 \dot{x} + \psi_2 (u - 2\dot{z}\omega) + \psi_3 \dot{z} + \psi_4 (2\dot{x}\omega + 3z\omega^2).$$

Сопряженная система:

$$\begin{aligned} \dot{\psi}_1 &= 0, \\ \dot{\psi}_2 &= -\psi_1 - 2\omega\psi_4, \\ \dot{\psi}_3 &= -3\omega^2\psi_4, \\ \dot{\psi}_4 &= -\psi_3 + 2\omega\psi_2. \end{aligned}$$

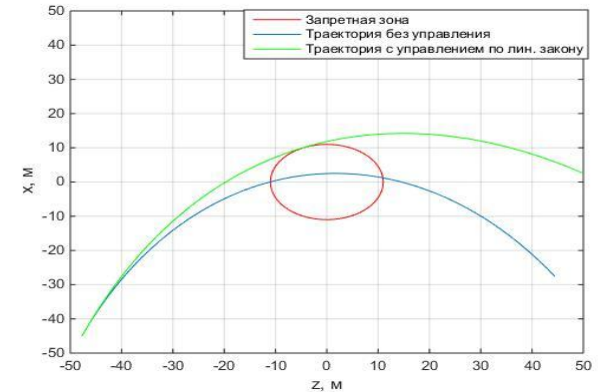
Начальные условия:

$$\mathbf{x}(t_0) = \mathbf{x}_0, \mathbf{x}(T) = \mathbf{x}_T.$$

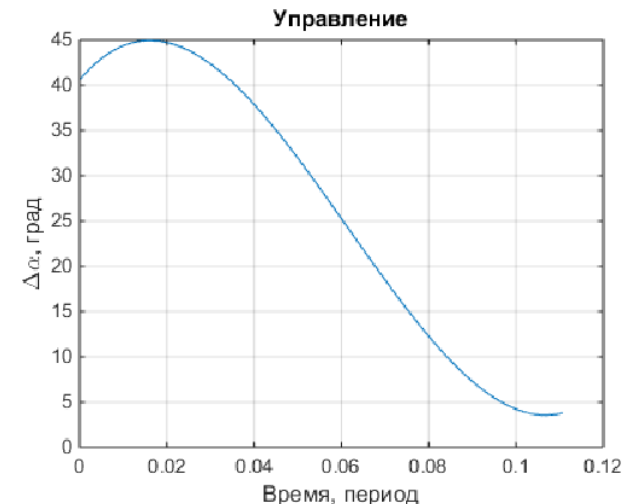
Условия на подвижный конец:

$$-\frac{1}{2}\psi_2(T)^2 + \psi_1(T)\dot{x}(T) + \psi_2(T)(\psi_2(T) - 2\dot{z}(T)\omega) + \psi_3(T)\dot{z}(T) + \psi_4(2\dot{x}(T)\omega + 3z(T)\omega^2) = 0.$$

$$Q_{opt} = -8.93 \cdot 10^{-7}; Q_{liner} = -8.85 \cdot 10^{-7}$$

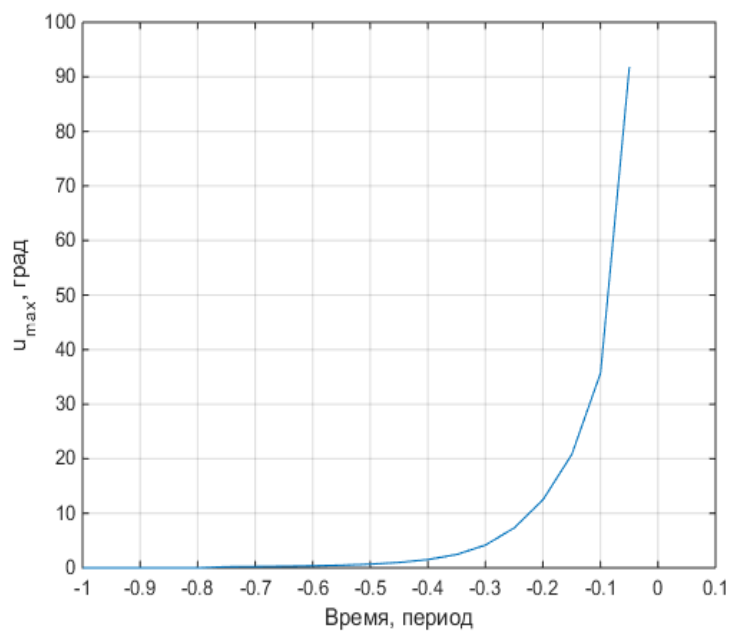


Пример проекции траектории на плоскость  $Oxz$

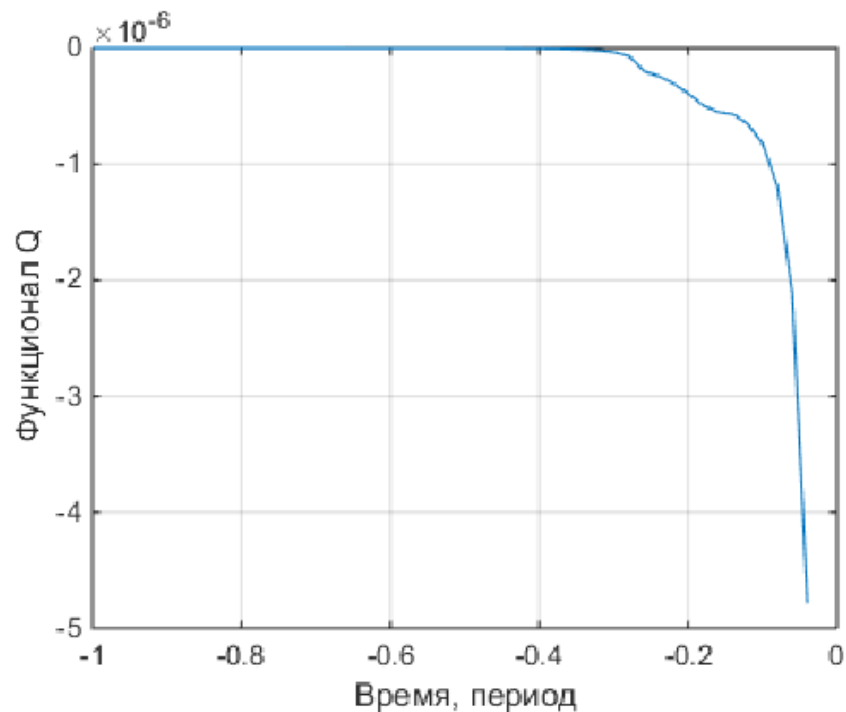


Зависимость разности углов от времени

# Исследование движения в зависимости от времени начала управления



Зависимость максимального угла от начала маневра



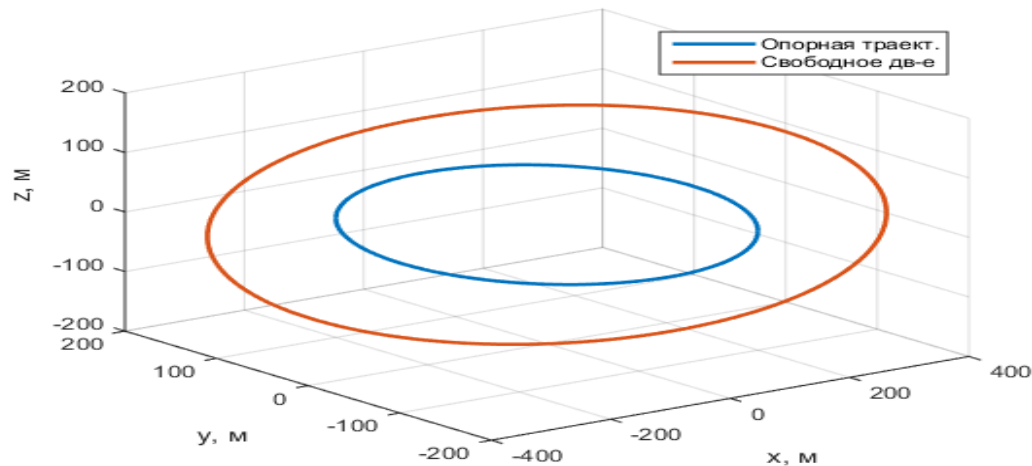
Зависимость функционала от начала маневра

# Результаты к Главе 1

- Разработаны два типа алгоритма управления для предотвращения столкновения спутников: линейный алгоритм, оптимальный алгоритм с использованием функции Понтрягина.
- Исследовано зависимость радиуса запретной зоны, максимального угла отклонения от начального положения

# Постановка задачи

- С помощью аэродинамических сил перейти на заданную относительную траекторию одного аппарата относительно другого.



Опорная траектория и свободное движение

# Модель аэродинамической СИЛЫ

$$\mathbf{f} = \mathbf{f}_2 - \mathbf{f}_1,$$

Модель силы, действующей на один из спутников:

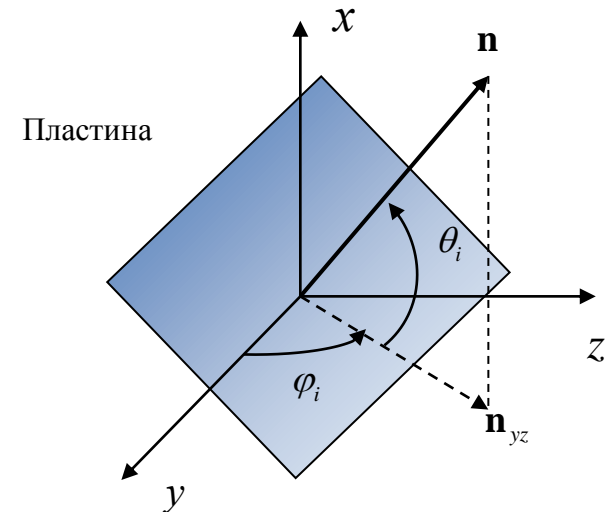
$$\mathbf{f}_i = -\frac{1}{m} \rho V^2 S \left\{ (1 - \varepsilon) (\mathbf{e}_V, \mathbf{n}_i) \mathbf{e}_V + 2\varepsilon (\mathbf{e}_V, \mathbf{n}_i)^2 \mathbf{n}_i + (1 - \varepsilon) \frac{\nu}{V} (\mathbf{e}_V, \mathbf{n}_i) \mathbf{n}_i \right\},$$

$\varepsilon$  и  $\nu$  – коэффициенты взаимодействия молекул атмосферы с поверхностью спутника.

$$0^\circ \leq \theta_i \leq 90^\circ,$$

$$0^\circ \leq \varphi_i \leq 180^\circ,$$

$$\mathbf{n} = (\sin \theta_i; \cos \theta_i \cos \varphi_i; \cos \theta_i \sin \varphi_i).$$



# Область допустимого управления

Разность действующих сил:

$$\Delta \mathbf{f} = k \begin{bmatrix} p(\theta_1) - p(\theta_2) \\ g(\theta_1) \cos \varphi_1 - g(\theta_2) \cos \varphi_2 \\ g(\theta_1) \sin \varphi_1 - g(\theta_2) \sin \varphi_2 \end{bmatrix} =$$

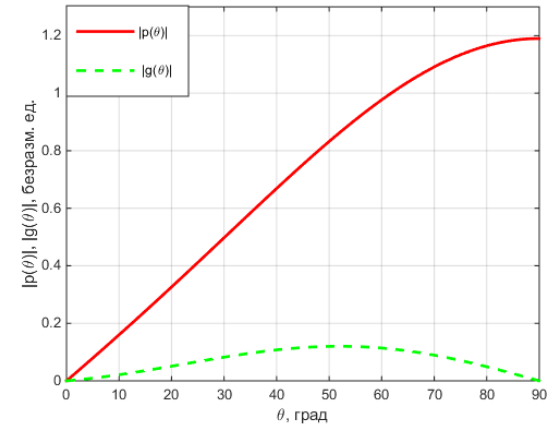
$$= k \begin{bmatrix} p(\theta_1) - p(\theta_2) \\ (g(\theta_1) + g(\theta_2)) \cos \varphi_1 \\ (g(\theta_1) + g(\theta_2)) \sin \varphi_1 \end{bmatrix},$$

$$k = \frac{1}{m} \rho V^2 S,$$

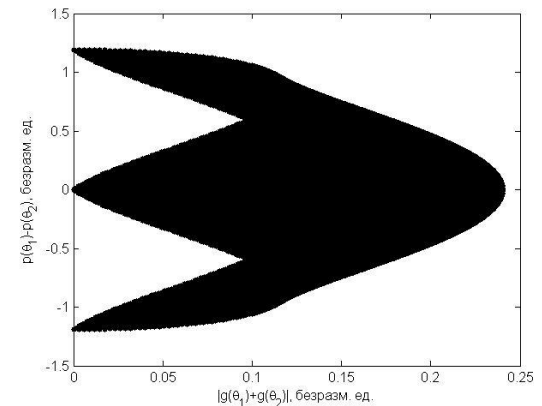
$$p(\theta_i) = -2\varepsilon(\sin \theta_i)^3 + \eta(\varepsilon - 1)(\sin \theta_i)^2 + (\varepsilon - 1) \sin \theta_i,$$

$$g(\theta_i) = -\cos \theta_i \sin \theta_i (\eta - \varepsilon \eta + 2\varepsilon \sin \theta_i),$$

$$\varphi_2 = \varphi_1 + \pi.$$



Зависимость компонент аэродинамической силы от угла



Область управления

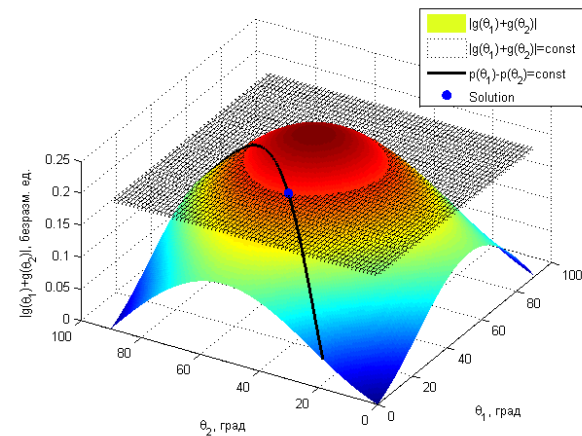
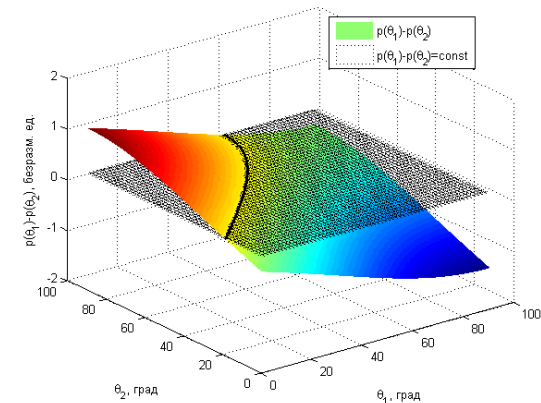
# Вычисление ориентации спутников

Пусть  $\mathbf{u}$  - управляющее воздействие.

Безразмерный вектор  $\tilde{\mathbf{u}} = \mathbf{u}/k$ .

$$\begin{cases} p(\theta_1) - p(\theta_2) = \tilde{u}_1, \\ (g(\theta_1) + g(\theta_2)) = -\sqrt{\tilde{u}_2^2 + \tilde{u}_3^2}, \\ \cos \varphi = \frac{u_2}{\sqrt{u_2^2 + u_3^2}}, \\ \sin \varphi = \frac{u_3}{\sqrt{u_2^2 + u_3^2}}. \end{cases}$$

Графическое решение системы



# Линейно-квадратический регулятор

Линейная система имеет вид:

$$\dot{\mathbf{x}} = A\mathbf{x} + B\mathbf{u},$$

где  $\mathbf{x} = [\mathbf{r}^T \ \mathbf{v}^T]^T$ ,

$$A = \begin{bmatrix} 0_{3 \times 3} & E \\ C & D \end{bmatrix},$$

$$B = \begin{bmatrix} 0_{3 \times 3} \\ E \end{bmatrix}.$$

Управление с обратной связью

$$\mathbf{u} = -K\mathbf{e},$$

где  $\mathbf{e} = \mathbf{x} - \mathbf{x}_d$ .

Минимизируется

$$J = \int_0^{\infty} (\mathbf{e}^T Q \mathbf{e} + \mathbf{u}^T R \mathbf{u}) dt,$$

тогда  $\mathbf{u} = -R^{-1}B^T P \mathbf{e}$ ,

где матрица  $P$  есть решение

$$Q - PBR^{-1}B^T P + PA + A^T P = 0.$$

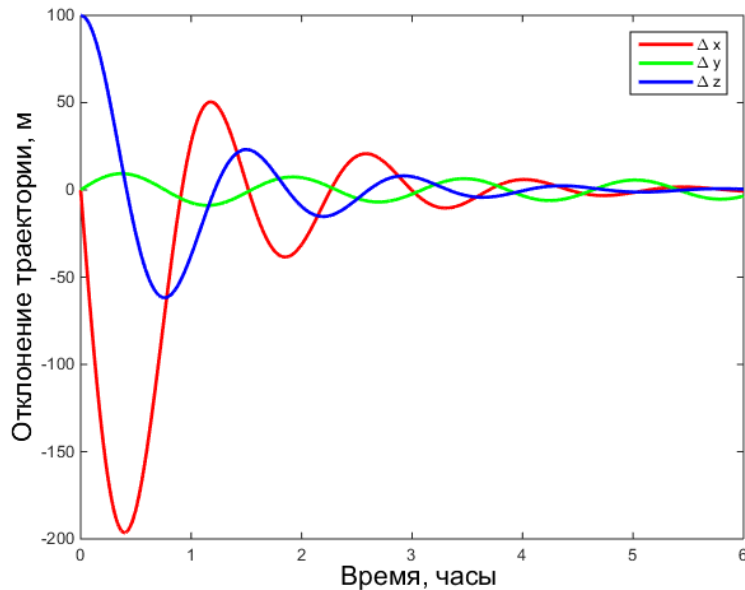
# Моделирование управляемого движения—I

Начальная траектория:

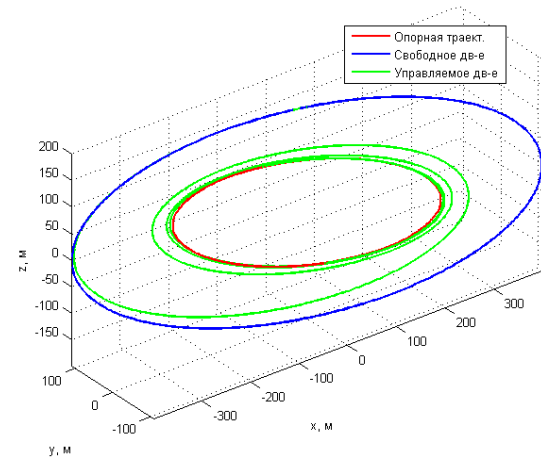
$$c_1 = 0 \text{ м}, c_2 = 0 \text{ м}, c_3 = 200 \text{ м}, c_4 = 0 \text{ м}, c_5 = 20 \text{ м}, c_6 = 0 \text{ м}.$$

Опорная траектория:

$$\tilde{c}_1 = 0 \text{ м}, \tilde{c}_2 = 0 \text{ м}, \tilde{c}_3 = 100 \text{ м}, \tilde{c}_4 = 0 \text{ м}, \tilde{c}_5 = 10 \text{ м}, \tilde{c}_6 = 0 \text{ м}.$$

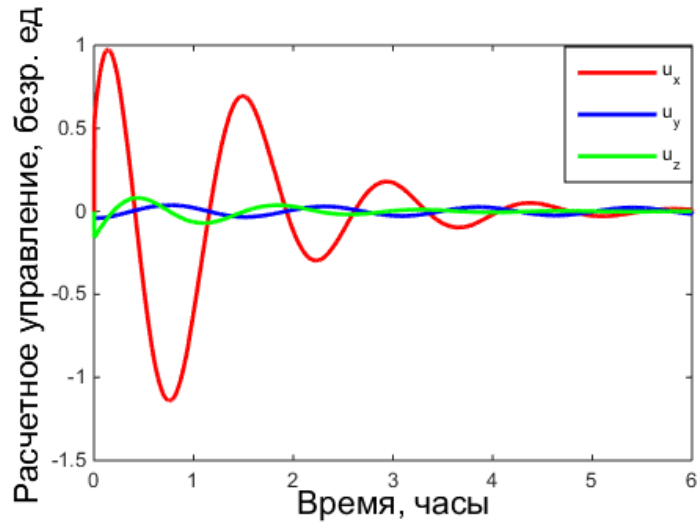


Отклонение траектории и скорости от опорной орбиты

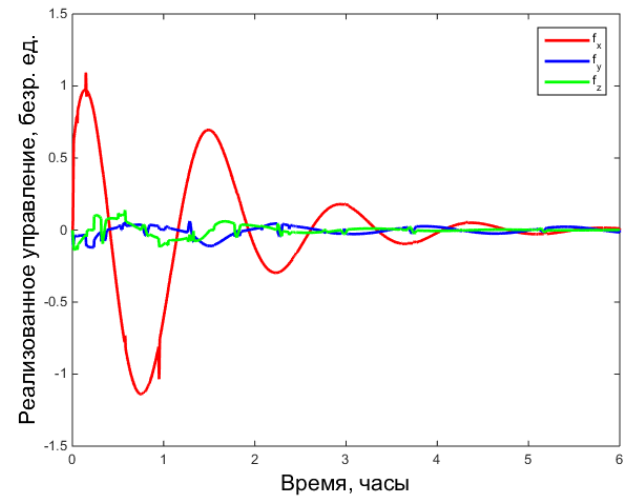


Опорная траектория и управляемое движение

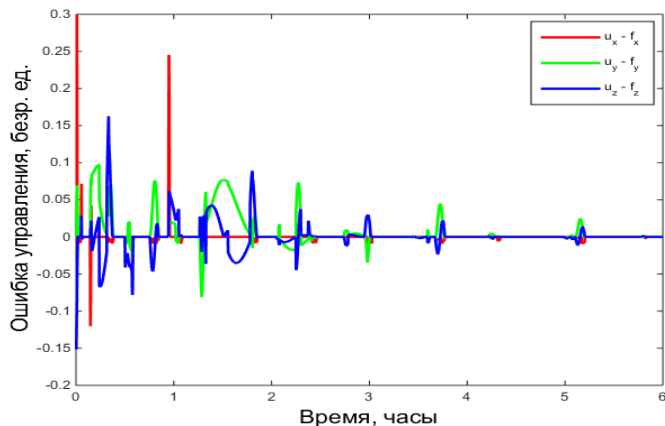
# Моделирование управляемого движения—II



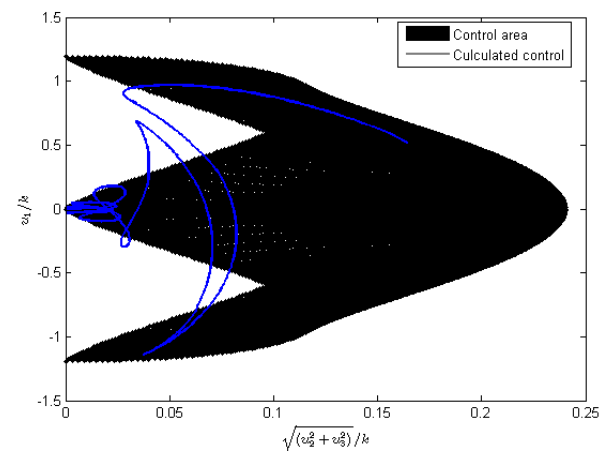
Расчетное управление



Реализованное управление



Разница расчетного и реализованного управления



Область управления

# Исследование алгоритма—I

При выборе параметров управления необходимо учитывать:

1. Ограничение на значение управления
2. Степень устойчивости

Методика исследования алгоритмов:

$$\dot{\mathbf{e}} = (A - BK)\mathbf{e},$$

$\mathbf{e}_0$  – начальное предельное отклонение траектории.

Ковариционная матрица:

$$P_0 = M(\mathbf{e}_0 \mathbf{e}_0^T).$$

Закон изменения ковариционной матрицы:

$$\dot{P} = FP + PF^T$$

, где  $F = A - BK$

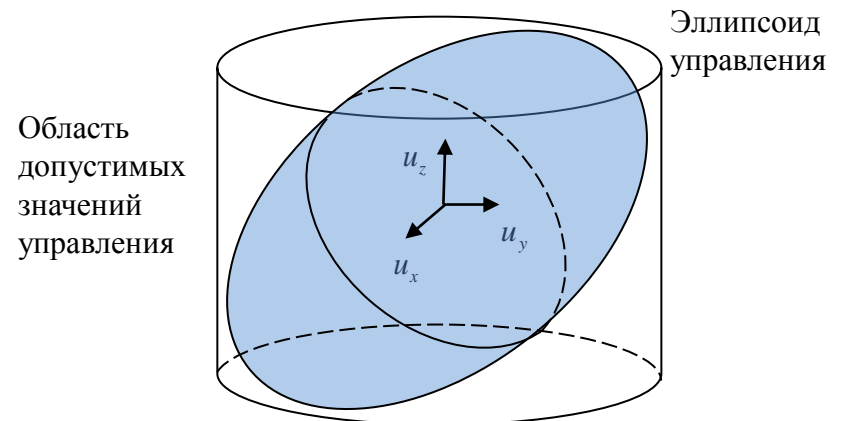
Эллипсоид в пространстве управления:

$$P_u(t) = KPK^T$$

$$P_0 = \begin{bmatrix} \sigma_1^2 & 0 & 0 & 0 & 0 & 0 \\ 0 & \sigma_2^2 & 0 & 0 & 0 & 0 \\ 0 & 0 & \sigma_3^2 & \sigma_3\sigma_4 & 0 & 0 \\ 0 & 0 & \sigma_3\sigma_4 & \sigma_4^2 & 0 & 0 \\ 0 & 0 & 0 & 0 & \sigma_5^2 & 0 \\ 0 & 0 & 0 & 0 & 0 & \sigma_6^2 \end{bmatrix},$$

Область допустимых значений управления:

$$\tilde{u}_1 \in [-1.19; 1.19], \sqrt{\tilde{u}_2^2 + \tilde{u}_3^2} \in [0; 0.24].$$



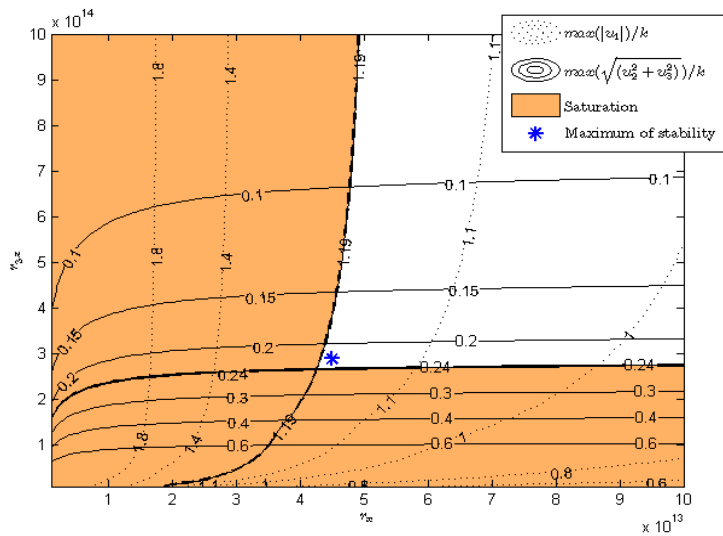
# Исследование алгоритма — II

Предельное отклонение траектории в начальный момент:

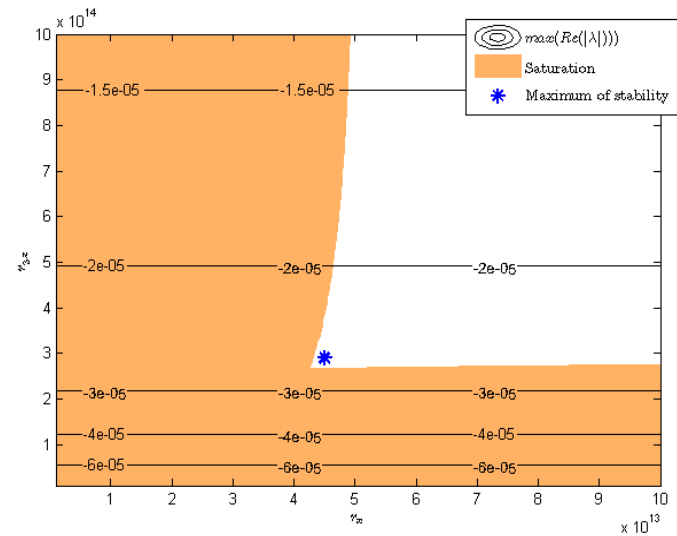
$$\sigma_1 = \sigma_3 = 100 \text{ м}, \sigma_2 = 10 \text{ м}, \sigma_4 = -2\omega\sigma_{z_0}, \sigma_5 = \sigma_6 = 0.01 \text{ м/с.}$$

Весовая матрица:

$$R = \begin{pmatrix} r_x & 0 & 0 \\ 0 & r_{yz} & 0 \\ 0 & 0 & r_{yz} \end{pmatrix}$$



Области параметров, приводящие к насыщению управления



Изолинии степени сходимости при различных значениях коэффициентах

# Влияние возмущений—I

Рассматриваемые возмущения:

1. 2ая гармоника разложения грав. поля Земли
2. нелинейная плотность атмосферы.

$$\begin{cases} \ddot{\mathbf{R}}_i = -\frac{\mu}{R_i^3} \mathbf{R}_i + \mathbf{D}_i^{J_2} + \mathbf{F}_i^a, \\ \mathbf{r} = G(\mathbf{R}_2 - \mathbf{R}_1), \\ \mathbf{v} = G\left[\left(\dot{\mathbf{R}}_2 - \dot{\mathbf{R}}_1\right) + \boldsymbol{\omega} \times (\mathbf{R}_2 - \mathbf{R}_1)\right], \end{cases}$$

$\mathbf{D}_i^{J_2}$  – возмущение от 2ой гармоники,

$\mathbf{F}_i^a$  – аэродинамическая сила,

$G$  – матрица перехода из ИСК в ОСК.

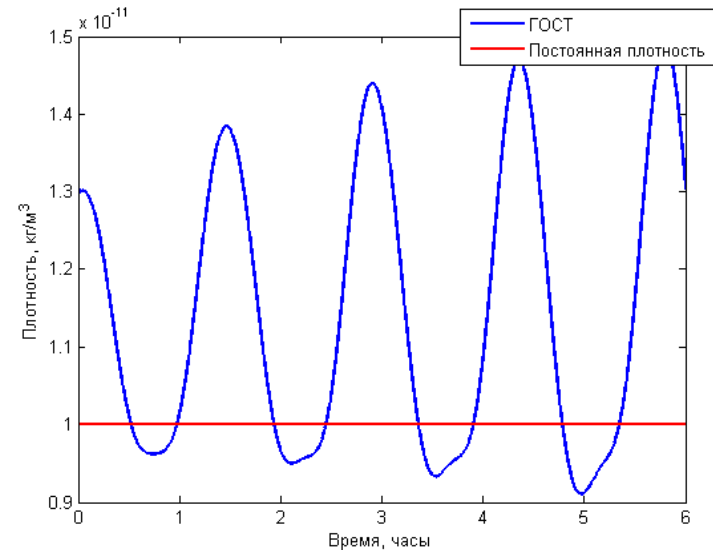
Параметры круговой орбиты для первого спутника:

$$i = 51.7^\circ,$$

$$h = 340 \text{ км},$$

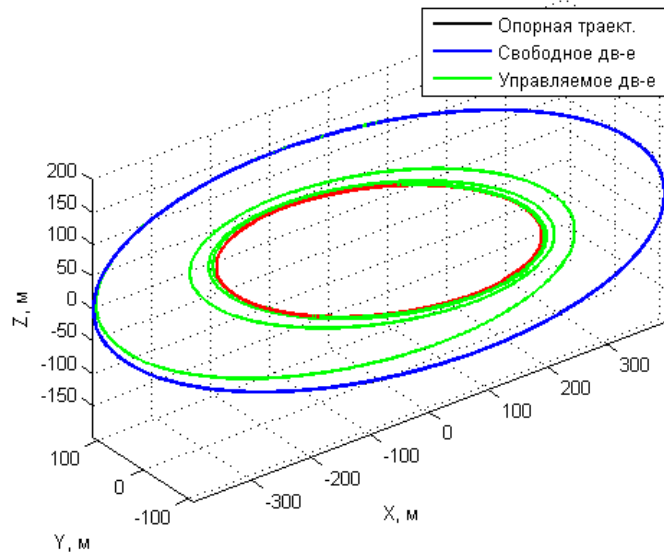
$\mathbf{R}_1$  – в точке восходящего узла.

$t_0$  – 1 января 2012 года 0 часов 00 минут.

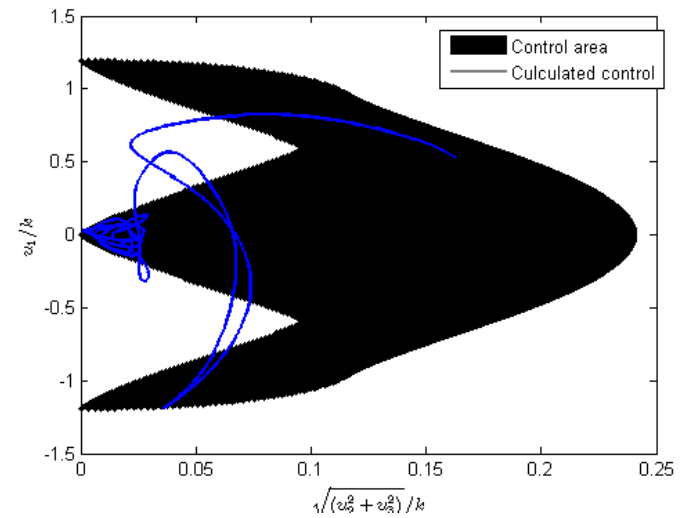


Плотность атмосферы по модели ГОСТ и принятая постоянная плотность

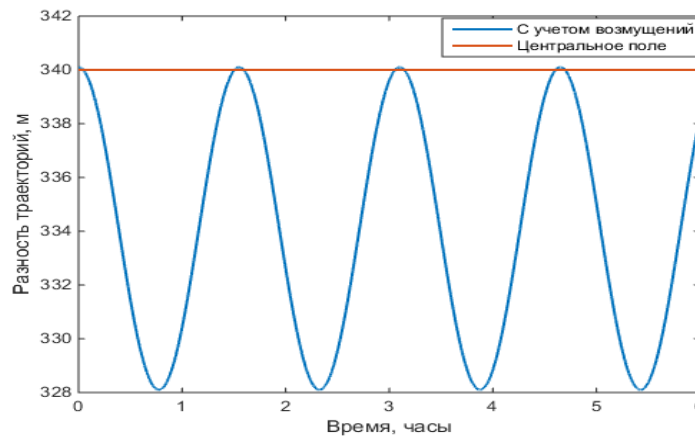
# Влияние возмущений—II



Опорная траектория и управляемое движение

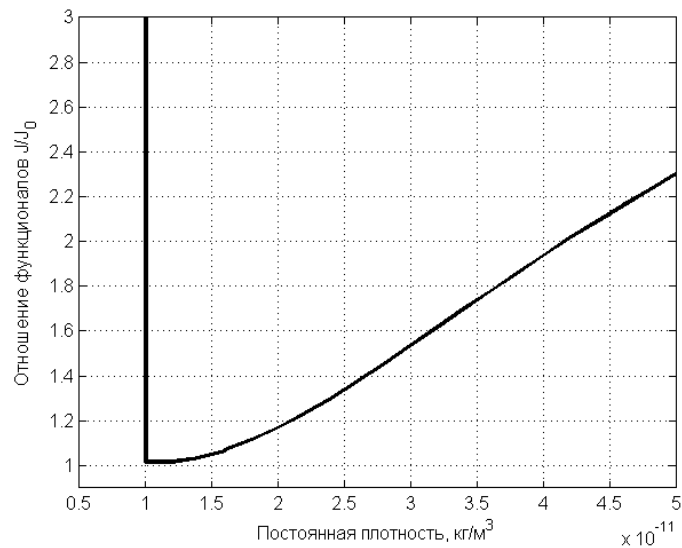


Область допустимого управления и расчетное управление

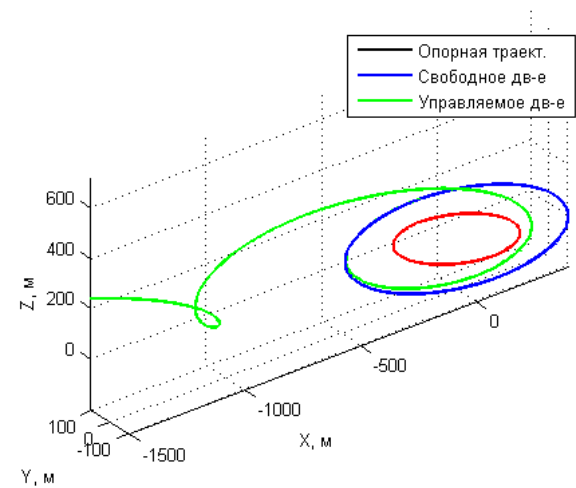


Высота орбиты в центральном поле и с учетом полярного сжатия

# Влияние возмущений—III



Отношение функционала при изменении плотности



Относительная траектория при  $\rho = 6 \cdot 10^{-12} \text{ кг/м}^3$

# Результаты Главы 1

- Рассмотрена пространственное управление с помощью аэродинамической силы сопротивления
- Проведено моделирование работы алгоритма с ограничением на величину управления для конкретного маневра относительного движения
- Исследовано зависимость степени устойчивости системы от весовых коэффициентов
- Исследовано влияние возмущений  $J_2$  и неточности знания плотности атмосферы

# Заключение

- Рассмотрены несколько моделей аэродинамической силы в качестве управления
- Предложена методика исследования параметров алгоритма
- Рассмотрено влияние возмущений  $J_2$  и неточности знания плотности атмосферы
- Получены несколько алгоритмов для предотвращения столкновения спутников

Спасибо за внимание!

## **Публикации**

- Кушнирук М.С., Иванов Д. С. Исследование алгоритмов управления движением группы спутников с помощью аэродинамической силы сопротивления // Препринты ИПМ им. М.В.Келдыша. 2015. No 28. 30с
- Кушнирук М.С., Иванов Д. С. Алгоритмы управления движением группы спутников с использованием аэродинамической силы сопротивления для предупреждения столкновений // Препринты ИПМ им. М.В.Келдыша. 2015. No 99. 30с